

А. П. АКИМОВ, Г. С. СЕМЕНОВ

**СОДЕРЖАНИЕ РАДИОАКТИВНЫХ ЭЛЕМЕНТОВ В КИМБЕРЛИТАХ  
СИБИРСКОЙ ПЛАТФОРМЫ**

(Представлено академиком В. С. Соболевым 25 III 1969)

В опубликованной литературе по кимберлитам нет сведений о содержании в них радиоактивных элементов. Существует утверждавшееся мнение,

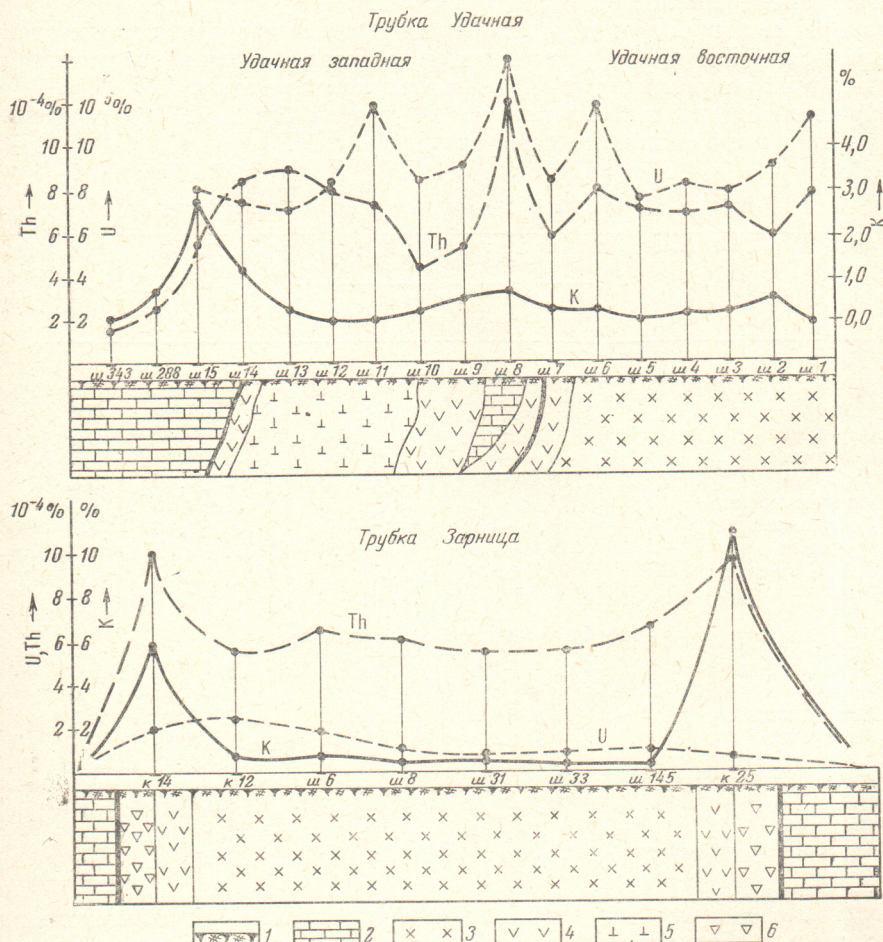


Рис. 1. Характер распределения U, Th и K в кимберлитовых трубках. 1 — элювиальные и аллювиальные образования, 2 — вмещающая известковистая порода моркокинской свиты (ордовик), 3 — базальтоидный кимберлит, 4 — карбонатизированный окисленный кимберлит зоны интенсивного изменения, 5 — кимберлитовая брекчия, 6 — приконтактовый карбонатно-глинистый милонит

что содержание радиоактивных элементов в кимберлитах, как производных глубинных частей верхней мантии, подобно альпинотипным гипербазитам, очень мало. Этот вывод подкреплялся отсутствием следов контактного

взаимодействия между кимберлитами и породами гранитного основания, в процессе которого они могли бы обогатиться радиоактивными элементами.

В 1963 г. А. П. Балахшин (4) при обзоре методических возможностей для улучшения поисков кимберлитовых тел методами геофизики отметил, что в связи с близостью значений активности кимберлитов, вмещающих пород и траппов путь к поискам кимберлитов на Сибирской платформе методами радиометрии закрыт.

Вместе с тем при изучении петрологии кимберлитов неоднократно отмечалось, что в кимберлитах присутствуют минералы (8), которые могут характеризоваться резко повышенным содержанием радиоактивных элементов, и в первую очередь Th (перовскит, апатит и др.).

Этот факт в сочетании с обнаружением следов контактного взаимодействия между кимберлитами и породами гранитного основания (1), а также кимберлитами и глубинными породами (2) послужил основанием для постановки исследований по изучению распределений концентраций радиоактивных элементов в кимберлитах.

Измерение концентраций урана, тория и калия проведено гамма-спектрометрическим методом на установках, разработанных для изучения низких концентраций радиоактивных элементов в горных породах (5, 7, 9).

Изучены образцы кимберлитов из 20 трубок Якутии, охватывающие пять районов кимберлитового магматизма (табл. 1).

Таблица 1

Распределение тория, урана и калия в кимберлитах

Трубка	Концентрации, $10^{-4}$ вес. %		K, вес. %	Th/U
	Th	U		
Чомур	10,0±0,8	1,1±0,3	0,14±0,06	9,1
Зарница	10,3±0,9	3,4±0,2	0,06±0,05	3,0
Якутская	6,4±0,7	2,0±0,4	0,02±3,2	3,2
Удачная	8,6±0,4	2,3±0,5	0,2±0,04	3,7
Академическая	5,2±0,6	2,7±0,3	0,21±0,05	1,9
Геофизическая	13,0±1,6	4,0±0,3	0,46±0,06	3,2
Дальняя	9,0±0,9	2,9±0,3	0,1±0,05	3,1
XXIII съезда	10,7±0,8	2,9±0,6	0,06±0,05	3,7
Мир	5,6±0,3	1,9±0,2	0,3±0,02	1,9

Алмазоносные кимберлиты

Чомур	10,0±0,8	1,1±0,3	0,14±0,06	9,1
Зарница	10,3±0,9	3,4±0,2	0,06±0,05	3,0
Якутская	6,4±0,7	2,0±0,4	0,02±3,2	3,2
Удачная	8,6±0,4	2,3±0,5	0,2±0,04	3,7
Академическая	5,2±0,6	2,7±0,3	0,21±0,05	1,9
Геофизическая	13,0±1,6	4,0±0,3	0,46±0,06	3,2
Дальняя	9,0±0,9	2,9±0,3	0,1±0,05	3,1
XXIII съезда	10,7±0,8	2,9±0,6	0,06±0,05	3,7
Мир	5,6±0,3	1,9±0,2	0,3±0,02	1,9

Кимберлиты без алмазов

Обнаженная	20,8±1,8	3,0±0,3	0,7±0,08	6,6
Бета	13,0±1,1	3,5±0,1	1,06±0,10	3,7
Аномалия 83	6,8±0,9	2,7±0,2	0,83±0,07	2,5
Аномалия 32	50,0±2,5	8,3±0,4	1,83±0,15	6,2
Аномалия 54	25,0±2,4	6,0±0,3	1,10±0,1	4,1
Русловая (р. Куойка)	5,3±0,6	1,9±0,3	0,41±0,06	2,8
Второгодница	18,0±0,9	1,1±0,2	0,6±0,05	16,0
Великая	30,0±2,2	3,6±0,4	0,8±0,06	8,3
Светлая (р. Чомурдах)	12,0±1,6	4,2±0,6	1,18±0,09	2,9

Вопреки общепринятому мнению о низких содержаниях радиоактивных элементов, в кимберлитах установлены значительно более высокие активности по сравнению с вмещающими породами и траппами, которые зачастую сравнимы с содержаниями радиоактивных элементов в гранитах (табл. 2).

Характерно распределение радиоактивных элементов внутри кимберлитовых тел. Наиболее детально изучены трубы «Удачная» и «Зарница». По этим трубкам проведено более 30 анализов как лабораторным способом, так и при помощи полевого спектрометра (типа СП-3). Как правило, содержания радиоактивных элементов внутри трубы довольно постоянны и изменяются в пределах ошибки измерения (рис. 1), хотя каждому из типов кимберлитов отвечает свой уровень активности. Резко отличные концен-

трации радиоактивных элементов характеризуют область эндоконтакта трубы и участки кимберлита, контактирующие с крупными рифами вмещающих пород. Здесь отмечается значительное их накопление, превышающее содержания U и Th внутри контура в 2—3 раза, а K в 50—100 раз (см. рис. 1).

Интересны заметные отличия спектра радиоактивных элементов для большей части алмазоносных и чистых кимберлитов. Так, отношение Th / U для кимберлитов находится в пределах нормального ряда и составляет  $\sim 3-4$ , для неалмазоносных поднимается до 15—20. Намечается и некоторая связь в количестве алмазов и содержаний Th (рис. 2). Однако данных для увереной корреляции явно недостаточно.

Специфика спектра гамма-излучения кимберлитов сравнительно с траппами и вмещающими породами, различия в составе радиоактивных элементов по типам кимберлитов, а также накопление радиоактивных элементов вблизи контактов трубок открывают широкие возможности применения гамма-спектрометрического метода как при поисках, так и при разведке кимберлитов.

В ряде стран радиометрию с самолета для поисков кимберлитов среди гранитоидов по пониженнной радиоактивности применяли 10 лет (<sup>3</sup>) назад. Примечательно, что значения содержаний радиоактивных элементов в этих работах не приводятся.

Анализ полученных данных показывает также, что кимберлитовые породы по содержанию радиоактивных элементов близки не к ультраосновным



Рис. 2. Примерный характер коррелятивной связи в содержании алмазов (A) и Th по 20 трубкам Якутии

Таблица 2

Средние концентрации U, Th и K для ряда глубинных и вмещающих их пород Сибирской платформы \*

Порода	Концентрации, $10^{-4}$ вес. %		K, вес. %	Примечание
	Th	U		
Алмазоносные кимберлиты	6—10	0,7—2,5	0,5	8 определ.
Не алмазоносные кимберлиты	10—20 (50)	3,0—8,0	0,8—2,5	12 определ.
Траппы Сибирской платформы	$1,5 \pm 0,5$ (3)	$1,5 \pm 0,2$ (10)	0,3—0,5	Серия из 45 определ. образцов 14 комплексов Тунгусской синеклизы 3 определ., южное обрамление платформы 18 определ.
Гипербазиты альпинотипные	0,4—0,9	0,3—0,6	Не опр.	6 определ., Минусинская котловина
То же из включений	0,1—0,15	0,03—0,1	0,01	По (6)
Щелочно-базальтоидные серии	6,5—8,0	0,5—0,7	<0,05	6 определ.
Карбонатиты	3,5—0,50	3—5	0,35	
Известняки ордовика (Моркокинская свита)	0—1,2	1,0	0,06	

\* Точность определения не хуже 20%. В скобках приведены характерные, но реже встречающиеся значения.

ным породам, а занимают промежуточное положение в ряду пород платформенного щелочного магматизма между щелочно-базальтоидными сериями зон активизации и карбонатитами.

Всесоюзный научно-исследовательский институт ядерной геофизики и геохимии  
Москва

Поступило  
17 III 1969

## ЦИТИРОВАННАЯ ЛИТЕРАТУРА

- <sup>1</sup> А. П. Акимов, Изв. АН СССР, сер. геол., № 3 (1970). <sup>2</sup> А. П. Акимов, И. Г. Берзина и др., ДАН, 181, № 5 (1968). <sup>3</sup> Н. А. Александровская, Сборн. Вопросы рудной геофизики, в. 4, М.—Л., 1961. <sup>4</sup> Г. Д. Балахшин, Сборн. Геология алмазных месторождений, № 9, 1963. <sup>5</sup> Н. Д. Балысный, Р. М. Коган и др., ДАН, 140, № 4 (1961). <sup>6</sup> Л. М. Березина, Ю. А. Багдасаров, Геохимия, № 7 (1968). <sup>7</sup> А. П. Грумбков, С. И. Ингербух и др., Тр. Всесоюзн. н.-и. инст. ядерной геофиз. и геохим., в. 4 (1967). <sup>8</sup> И. П. Илупин, Сов. геол., № 3 (1962). <sup>9</sup> А. П. Якубович, Ускоренный анализ минерального сырья с применением спектральной аппаратуры, 1963.